

ارزیابی شاخص شکنندگی S20، خصوصیات مهندسی و پتروگرافی برخی سنگ‌های آذرین معدن سنگ آهن سنگان خواف

علی قاسم‌پور^{۱*}، غلامرضا لشکری‌پور^۲ و محمد غفوری^۳

۱- دانشجوی کارشناسی ارشد، دانشکده علوم، دانشگاه فردوسی مشهد، مشهد

۲ و ۳- استاد گروه زمین‌شناسی، دانشکده علوم، دانشگاه فردوسی مشهد، مشهد

* ghasempouramirarsalan7522@gmail.com نویسنده مسئول:

نوع مقاله: کاربردی

دریافت: ۹۹/۳/۱۴ پذیرش: ۹۹/۱۰/۱۳

چکیده

شکنندگی یکی از مهم‌ترین خصوصیات مکانیکی سنگ است که در حفاری سازه‌های زیرزمینی مانند حفر تونل کاربرد گسترده‌ای دارد. تاکنون روش‌های زیادی برای برآورد شکنندگی سنگ معرفی گردیده است اما استانداردی برای اندازه‌گیری شکنندگی مطرح نشده است. در این پژوهش بر روی ۱۹ نمونه از برخی سنگ‌های آذرین (گرانیت، گرانودیوریت و داسیت) معدن سنگ آهن سنگان خواف آزمایشات تعیین شکنندگی S20. همراه با خصوصیات پتروگرافی (درصد کانی‌های اصلی)، فیزیکی (چگالی خشک، چگالی اشباع، تخلخل و درصد جذب آب)، مکانیکی (مقاومت فشاری تکمحوری، مقاومت کششی بربزیلی و مقاومت بار نقطه‌ای) و دینامیکی (سرعت موج فشاری و برشی) در دو حالت خشک و اشباع انجام شد. تحلیل آماری نتایج نشان می‌دهد که با افزایش آلکالی فلدسپات و کاهش کوارتز و پلاژیوکلاز مقدار شکنندگی نمونه‌ها افزایش می‌یابد. همچنین وجود ریزدرزهای رگه‌های کربناتی باعث کاهش مقاومت و افزایش شکنندگی سنگ می‌شود و قابلیت حفرپذیری نمونه‌ها آسان‌تر شده است که این عامل در حالت اشباع تشدید می‌گردد. یک رابطه معکوس بین شکنندگی S20 و شاخص‌های شکنندگی وجود دارد، و با افزایش مقدار شکنندگی S20 مقدار شاخص‌های شکنندگی کاهش می‌یابد. ارتباط بین شکنندگی S20 با شاخص‌های شکنندگی B3 و B4 دارای بیشترین ضربت تعیین می‌باشد که به عنوان یک نتیجه می‌توان گفت که شکنندگی اندازه‌گیری شده در آزمایشگاه می‌تواند در بیان شکنندگی سنگ‌ها واقع بینانه‌تر باشد.

واژه‌های کلیدی: شکنندگی S20، آلکالی فلدسپات، سنگ آذرین، سنگان خواف

تعريف کرده است (هاول، ۱۹۶۰) و تاراسوف و پوتین آن را به عنوان یک روند شکست خود پایدار بیان می‌کنند (تاراسوف و پوتین، ۲۰۱۳). با این وجود، هنوز تعریف و روش اندازه‌گیری مشخصی برای شکنندگی وجود ندارد. طبق گزارش هوکا و داس (۱۹۷۴) و ژانگ و همکاران (۲۰۱۶)، با افزایش شکنندگی، سنگ‌های شکننده معمولاً ویژگی‌های زیر را نشان می‌دهند: (۱) مقادیر پایین کشیدگی دانه‌ها، (۲) نسبت بالاتر مقاومت فشاری به مقاومت کششی، (۳) سختی بالاتر، (۴) زاویه اصطکاک داخلی بالاتر، (۵) تشکیل ترک در دندانه‌ها، (۶) انعطاف‌پذیری بالاتر ناشی از نسبت الاستیک بزرگ‌تر، (۷) درصد بیش‌تر کانی‌های شکننده مانند کوارتز و حداقل مقدار کانی‌های قبل انعطاف مانند کانی رس، (۸) مقادیر بالای مدول یانگ و مقادیر پایین‌تر نسبت پواسون، (۹)

۱- پیشگفتار

شکنندگی یکی از مهم‌ترین خصوصیات مکانیکی سنگ است که در حفاری سازه‌های زیرزمینی مانند حفر تونل به کمک ماشین بازویی^۱ و ماشین حفاری تونل تمام مقطع (TBM) اثرگذار است (تورو، ۱۹۹۷). در مهندسی سنگ، شکنندگی اصطلاحی است که معمولاً برای شناسایی ویژگی‌های احتمالی شکست توده سنگ به کار می‌رود (ژانگ و همکاران، ۲۰۱۶). تا به امروز، چندین تعریف مختلف برای تعیین کمیت شکنندگی سنگ‌ها ارائه شده است. به عنوان مثال رمزی شکنندگی را به عنوان تخریب چسبندگی داخلی ماده سنگ تعريف کرده است (رمزی، ۱۹۶۷) و هاول شکنندگی را به عنوان خاصیتی از ماده سنگی که شکست یا گسیختگی در آن بدون تغییر شکل پلاستیک یا مقادیر کم آن رخ می‌دهد

از سنگ‌های آذرین پیشنهاد کردند یک روند منظم بین چگالی خشک، سرعت موج P، سختی چکش اشمت با مقدار شکنندگی سنگ‌های مورد مطالعه وجود دارد و سنگ‌هایی که دارای سختی متوسط هستند از میزان شکنندگی بالاتری برخوردار هستند (علیقلی و همکاران، ۲۰۱۶). در این تحقیق، تاثیر خصوصیات شاخص و پتروگرافی بر شکنندگی S20 و شاخص‌های شکنندگی مورد بررسی قرار گرفته است.

۲- موقعیت جغرافیایی و زمین‌شناسی معدن

معدن سنگ‌آهن سنگان خواف در فاصله ۳۰۰ کیلومتری جنوب شرقی شهر مشهد و ۱۸ کیلومتری شمال شرقی شهر سنگان در استان خراسان رضوی قرار دارد و از نظر موقعیت جغرافیایی بین طول‌های جغرافیایی ۶۰ درجه و ۲۳ دقیقه تا ۶۰ درجه شرقی و ۴۵ دقیقه و عرض‌های جغرافیایی ۳۴ درجه و ۲۶ دقیقه تا ۳۴ درجه و ۳۳ دقیقه شمالی در نزدیک مرز افغانستان واقع شده است (شکل ۱). این معدن به دلیل عیار بالای آهن، پایین بودن میزان فسفر و ذخیره فراوان، یکی از مهم‌ترین ذخایر آهن ایران و غرب آسیا به شمار می‌رود. در مطالعاتی که توسط کریمپور و همکاران (۱۳۸۱) انجام شده است، گفته شده که معدن سنگ‌آهن سنگان خواف جزوی از کمرنگ‌دشت آتش‌فشانی-پلوتونیک خواف-کاشمر-بردسکن است که با روند شرقی-غربی در شمال گسل درونه قرار دارد. سنگ‌شناسی منطقه مورد مطالعه بیشتر شامل سنگ‌های رسوبی، دگرگونی و آذرین است که به طور عمده از سنگ‌های آتش‌فشانی اسیدی تا حد واسط و تا حدودی مافیک با سن ترشیاری تشکیل شده که توده‌های گرانیت‌وئیدی با ترکیبی از گرانیت تا مونزونیت در آن نفوذ کرده‌اند (کریمپور، ۲۰۰۶).

۳- مواد و روش پژوهش

۳-۱- خصوصیات پتروگرافی نمونه‌ها

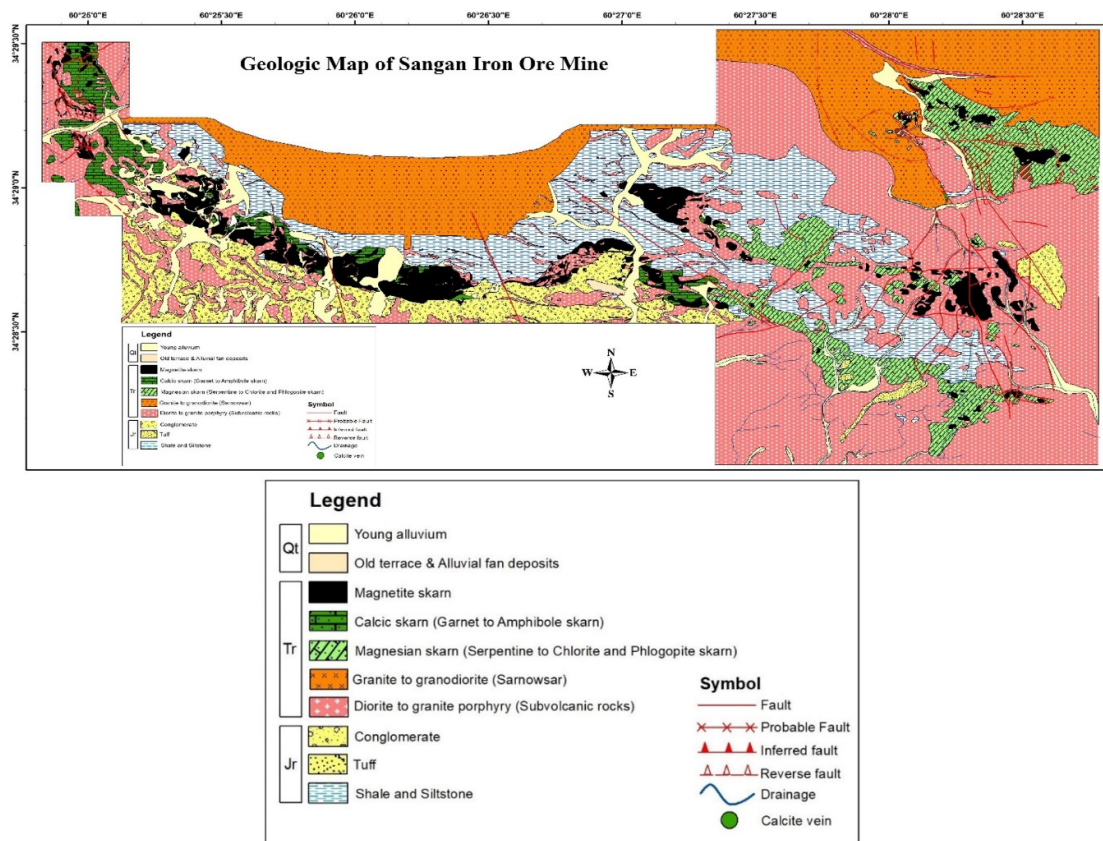
برای تعیین این خواص از هر نمونه سنگ یک مقطع نازک میکروسکوپی تهیه و با استفاده از نرم‌افزار JMicroVision Point counting درصد کانی‌های تشکیل‌دهنده سنگ‌های مورد مطالعه مشخص شد. جهت نامگذاری سنگ‌های مورد مطالعه با توجه به طبقه‌بندی اشتريکابیزن (۱۹۷۴) از نرم‌افزار WinRock استفاده شد. همانگونه که

کاهش زیاد مقاومت با شکست سنگ رخ می‌دهد (هوکا و داس، ۱۹۷۴؛ ژانگ و همکاران، ۲۰۱۶).

روش آزمایش شکنندگی (S20) مورد استفاده توسعه NTNU/SINTEF (۱۹۴۳) ارائه شده است. این آزمایش ابتدا جهت تعیین خواص مقاومتی دلنه‌ها طراحی و انجام شد، اما با ایجاد اصلاحاتی جهت مقاصد مختلف از قبیل تعیین حفرپذیری سنگ توسعه داده شد. برای اندازه‌گیری شکنندگی، عوامل مؤثر دیگری از جمله ترکیب کانی شناسی، تنش برجا و پارامترهای مقاومتی باید مورد توجه قرار گیرد (سنگ چی یانگ و همکاران، ۲۰۲۰). شاخص شکنندگی (BI) اصطلاحی است که معمولاً برای تعیین کمیت شکنندگی توده سنگ مورد استفاده قرار می‌گیرد و تابه امروز چندین روش مختلف برای بیان شکنندگی سنگ‌ها و تعیین میزان کمیت شکنندگی پیشنهاد شده است (هوکا و داس، ۱۹۷۴؛ التیندآگ، ۲۰۰۲؛ حاجی عبدالمجید و همکاران، ۲۰۰۳؛ نیگارد و همکاران، ۲۰۰۶؛ ریکمن و همکاران، ۲۰۰۸؛ یاگیز، ۲۰۰۹؛ هولت و همکاران، ۲۰۱۱؛ جین و همکاران، ۲۰۱۴؛ الف؛ جین و همکاران، ۲۰۱۴؛ ب؛ شنگ چی یانگ و همکاران، ۲۰۲۰). این تعاریف BI عمدتاً براساس رویکردهایی از جمله منحنی تنش-کرنش، مقاومت فشاری تکمحوری و مقاومت کششی برزیلی، آزمایش نفوذ، آزمایش چکش اشمت، ترکیب کانی شناسی، تخلخل و اندازه دانه و روش‌های ژئوفیزیکی استوار است. با توجه به عدم وجود تعریف و روش‌های اندازه‌گیری استاندارد برای شکنندگی سنگ، دو روش اندازه‌گیری شکنندگی توسط منگ و همکاران (۲۰۱۵) پیشنهاد و مورد استفاده قرار گرفته است که شامل (۱) براساس منحنی تنش-کرنش (۲) براساس خصوصیات فیزیکی و مکانیکی سنگ است. روش اول با استفاده از مقاومت، تغییرشکل و انرژی سنگ محاسبه می‌شود و روش دوم اندازه‌گیری شکنندگی با استفاده از انجام آزمایش‌های مانند آزمایش نفوذ، اندازه‌گیری سختی و تجزیه و تحلیل ترکیب کانی شناسی سنگ بدست می‌آید. (صفری و همکاران، ۱۳۹۸) با بررسی عوامل موثر بر شکنندگی S20 با استفاده از رگرسیون خطی و غیرخطی به این نتیجه رسیدن که خصوصیات سنگ‌شناسی و کانی شناسی تاثیر بسزایی در شکنندگی سنگ دارد و همچنین علیقلی و همکاران با بررسی شکنندگی تعدادی

فلدسبات، کانی‌های فرعی بیوتیت، مسکوویت و آمفیبول می‌باشند.

در جدول (۱) مشاهده می‌شود کانی‌های اصلی تشکیل دهنده نمونه‌ها کوارتز، پلاژیوکلاز و آلکالی



شکل ۱. نقشه زمین‌شناسی معدن سنگ آهن سنجان خوف (گل محمدی و همکاران، ۱۳۹۲)

سنگ مناسب با این سرعت در کانی‌های تشکیل دهنده آن می‌باشد. البته در صورتی که تاثیر عواملی نظیر اندازه و جهت‌گیری دانه‌ها در نظر گرفته نشود (فیبی‌فر و سروش، ۱۳۸۰). از عوامل تاثیرگذار بر سرعت موج در سنگ‌ها می‌توان به درصد رطوبت، درجه حرارت، نوع کانی‌ها، بافت، ساخت، چگالی، تخلخل، اندازه و شکل بلورها، درجه اشباع، ناهمسانگردی، خواص درزهای (زبری، شبی و امتداد، مواد پرکننده و آب) و تنش‌های وارده بر سنگ اشاره نمود (انگلدر و پلامپ، ۱۹۸۴). برای انجام آزمایش سرعت موج نمونه‌های مورد مطالعه، بعد آماده‌سازی نمونه‌ها ابتدا دستگاه کالیبره شد و به جهت حصول به شرایط یکسان برای مقایسه نتایج سرعت موج در حالت اشباع و خشک، مغزه‌های تهیه شده ابتدا در شرایط استاندارد اشباع شدند و سرعت موج در آن‌ها در حالت اشباع و بر اساس (ISRM, 1987) تعیین گردید. (شکل ۲).

۲-۳- آزمایش‌های تعیین خصوصیات مهندسی

۱-۲-۳- تعیین خواص فیزیکی
 خصوصیات فیزیکی اندازه‌گیری شده شامل چگالی خشک و اشباع، تخلخل و درصد جذب آب می‌باشد برای تعیین چگالی نمونه‌های مورد آزمایش ابتدا نمونه‌ها استوانه‌ای با قطر $47/6$ و $63/4$ را در دستگاه خلاء بر اساس استاندارد انجمن بین‌المللی مکانیک سنگ (ISRM, 2007) به مدت ۲ ساعت اشباع شد. تعیین ویژگی‌های فیزیکی هر یک از نمونه‌های سنگ (گرانیت، گرانوپیوریت و داسیت) در جدول (۲) ارائه شده است.

۲-۲-۳- تعیین خواص دینامیکی

برای تعیین پارامترهای دینامیکی سنگ‌ها مانند مدول الاستیسیته و نسبت پواسون آزمایش سرعت موج انجام می‌گیرد (انگلدر و پلامپ، ۱۹۸۴). سرعت موج فشاری در

جدول ۱. نتایج مطالعات پتروگرافی نمونه‌های مورد مطالعه

نام سنگ	O	Mu	Am	Bt	Afs	Pl	Qz	کد سنگ
مونزگرانیت	۶/۱			۸/۲	۲۳/۶	۲۸/۷	۲۲/۴	Gr1
مونزگرانیت	۲/۳۷		۵/۶		۲۵/۷	۳۲/۲	۳۴/۱۳	Gr2
مونزگرانیت	۵/۱			۷/۲۸	۱۷/۴	۳۲/۱	۳۸/۱۲	Gr3
مونزگرانیت	۳/۴				۲۴/۳	۳۲/۲	۴۰/۱	Gr4
بیوتیت مونزگرانیت	۶/۵			۹/۸۱	۲۴/۱۳	۳۰/۲	۲۹/۳۶	Gr5
مونزگرانیت	۲/۳		۳/۲		۴/۱	۲۳/۹	۲۸/۶	Gr6
مونزگرانیت	۶/۶۴		۳/۶		۲۸/۴	۳۱/۱۶	۳۰/۲	Gr7
سینوگرانیت	۶/۸		۳/۲		۴/۳	۴۱/۲	۲۴/۱	Gr8
گرانوودبوریت	۴/۴			۲/۲	۱۴/۱	۴۶/۲	۳۲/۱	Grd1
گرانوودبوریت	۵/۱		۳/۶۲		۱۶/۱	۳۵/۴	۳۹/۷۸	Grd2
بیوتیت گرانوودبوریت	۴/۱۴			۱۱/۶۳	۱۶/۲۳	۳۲/۴	۳۵/۶	Grd3
گرانوودبوریت	۲/۶				۱۵/۴	۳۶/۵	۴۱/۳	Grd4
داسیت	۲/۵				۶/۱	۱۷/۹۲	۵۰/۲	D1
داسیت	۳/۰۳			۳/۴۳	۱۹/۹	۴۲/۵	۳۱/۱۴	D2
داسیت	۳/۳				۱۶/۴	۳۹/۱	۳۹/۱	D3
داسیت	۴/۳۸			۷/۱۲	۱۵/۲	۳۹/۲	۳۴/۱	D4
داسیت	۷/۶۹				۲۲/۸۴	۴۳/۸۱	۴۳/۸۱	D5
داسیت	۳		۳/۵		۱۷/۲	۴۸/۱	۴۸/۱	D6
داسیت	۶/۷۳				۲۱/۴۱	۴۱/۵۶	۴۱/۵۶	D7

کوارتز - Pl پلازیوکلاز - Afs الکالی فلدوپات - Bt آمفیبول - Mu مسکوویت - O کانی های فرعی

جدول ۲. نتایج آزمایش خصوصیات فیزیکی بر روی نمونه‌های مورد مطالعه

کد سنگ	چگالی خشک (gr/cm³)	چگالی اشباع (gr/cm³)	تخلخل %	درصد جذب آب
Gr1	۲/۷۰	۲/۷۰	۰/۲۸	۰/۱۰
Gr2	۲/۶۲	۲/۶۳	۰/۵۸	۰/۲۲
Gr3	۲/۵۹	۲/۶۰	۱/۱۴	۰/۴۴
Gr4	۲/۶۰	۲/۶۱	۱/۵۵	۰/۶۰
Gr5	۲/۵۸	۲/۶۰	۱/۹۴	۰/۷۵
Gr6	۲/۶۴	۲/۶۴	۰/۵۶	۰/۲۱
Gr7	۲/۵۳	۲/۵۴	۱/۵۸	۰/۶۲
Gr8	۲/۴۴	۲/۵۲	۷/۹۶	۳/۲۷
Grd1	۲/۵۸	۲/۵۹	۱/۴۸	۰/۵۷
Grd2	۲/۶۰	۲/۶۱	۰/۴۳	۰/۱۷
Grd3	۲/۶۱	۲/۶۲	۰/۴۴	۰/۱۷
Grd4	۲/۶۱	۲/۶۲	۰/۹۰	۰/۳۴
D1	۲/۵۵	۲/۵۸	۳/۳۳	۱/۳۱
D2	۲/۶۱	۲/۶۳	۱/۶۱	۰/۶۲
D3	۲/۵۷	۲/۵۸	۰/۸۳	۰/۳۲
D4	۲/۶۱	۲/۶۱	۰/۵۲	۰/۲۰
D5	۲/۶۵	۲/۶۷	۱/۶۰	۰/۶۰
D6	۲/۵۸	۲/۵۸	۰/۴۰	۰/۱۵
D7	۲/۵۹	۲/۶۰	۰/۵۷	۰/۲۲



شکل ۲. تعیین سرعت امواج فراصوتی نمونه‌ها

جدول ۲. نتایج حاصل از آزمایش سرعت موج سنگ‌های (گرانیت، گرانوودیوریت و داسیت)

Vs dry (km/s)	Vp sat (km/s)	Vp dry (km/s)	کد سنگ
۳/۲۹	۶/۸۴	۶/۴۱	Gr1
۲/۷۵	۵/۷۶	۵/۴۷	Gr2
۲/۸۸	۵/۹۷	۵/۴۴	Gr3
۲/۸۱	۵/۷۲	۵/۱۵	Gr4
۲/۸۸	۵/۲۲	۴/۵۷	Gr5
۲/۹۳	۶/۱۶	۶/۱۱	Gr6
۳/۰۰	۵/۱۰	۴/۹۷	Gr7
۱/۹۴	۳/۶۹	۳/۳۳	Gr8
۲/۷۶	۵/۵۵	۵/۴۱	Grd1
۳/۱۴	۵/۶۶	۵/۸۷	Grd2
۳/۱۰	۵/۹۷	۵/۸۱	Grd3
۳/۰۲	۵/۵۵	۵/۴۳	Grd4
۲/۶۳	۵/۳۶	۴/۹۷	D1
۲/۹۳	۵/۰۹	۵/۰۲	D2
۳/۱۱	۵/۵۹	۵/۵۷	D3
۳/۰۷	۵/۷۴	۵/۶۱	D4
۲/۵۹	۵/۴۴	۵/۲۱	D5
۳/۰۵	۵/۶۷	۵/۶۲	D6
۳/۰۳	۵/۶۴	۵/۵۵	D7

مقاومت فشاری تکمحوری: برای این آزمایش نمونه‌های استوانه‌ای با نسبت طول به قطر ۲/۵ تا ۲/۵ برای دو حالت خشک و اشباع تهیه و آزمایش مقاومت فشاری تکمحوری بر روی نمونه‌ها انجام شد (شکل ۳ الف). مقادیر حاصل از مقاومت فشاری تکمحوری در جدول ۴ نشان داده شده است.

مقاومت کششی برزیلی: برای آزمایش مقاومت کششی برزیلی تعداد ۳ نمونه از هر نوع سنگ در حالت خشک و اشباع با نسبت طول به قطر ۵/۰ تا ۰/۷۵ مورد آزمایش قرار گرفت (شکل ۳ ب). بعد انجام آزمایشات از مقادیر بدست آمده میانگین گرفته شد و به عنوان مقدار نهایی مقاومت کششی برزیلی در نظر گرفته شد (جدول ۴).

۳-۲-۳- تعیین خواص مهندسی
 بررسی و تعیین خواص مکانیکی سنگ‌ها و توده‌های سنگی مهم‌ترین بخش در هر پروژه زمین‌شناسی مهندسی می‌باشد (دیامنتیس و همکاران، ۲۰۰۹). از مهم‌ترین عواملی که بر خصوصیات مکانیکی سنگ‌ها تاثیر می‌گذارد می‌توان به ترکیب کانی‌شناسی و بافت، اندازه و شکل کانی‌ها، شکستگی‌های میکروسکوپی، میزان خلل و فرج، درجه آلتراسیون کانی‌ها، درجه قفل‌شدنگی و نوع تماس بین دانه‌ها اشاره نمود (همتی و همکاران، ۲۰۲۰). در این تحقیق آزمایشات مقاومت فشاری تکمحوری، مقاومت کششی و بارنقطه‌ای براساس استاندارد (ISRM, 2007) انجام گردید.

بارگذاری محوری با نسبت طول به قطر $0/3$ تا 1 مورد آزمایش قرار گرفت (شکل ۳) و از مقادیر بدست آمده میانگین گرفته شد. نتایج بدست آمده از آزمایش مقاومت بار نقطه‌ای برای قطر 50 میلی‌متر تصحیح شد و به صورت $Is_{(50)}$ در جدول (۴) ارائه شده‌اند.

مقاومت بار نقطه‌ای: آزمایش بار نقطه‌ای به طور گستردگی برای تعیین ضریب مقاومت سنگ در مهندسی ژئوتکنیک در نتیجه سادگی آزمایش استفاده می‌شود (محمد و همکاران، ۲۰۱۹). برای انجام آزمایش مقاومت بار نقطه‌ای ۵ نمونه از هر سنگ در حالت خشک و اشباع براساس



شکل ۳. (الف) آزمایش مقاومت فشاری تکمحوری، (ب) آزمایش مقاومت کششی برزیلی و (ج) آزمایش مقاومت بار نقطه‌ای

جدول ۴. نتایج حاصل از آزمایش خصوصیات مکانیکی سنگ‌های (گرانیت، گرانودیوریت و داسیت)

Is_{50} sat (MPa)	Is_{50} dry (MPa)	BTS sat (MPa)	BTS dry (MPa)	Ucs sat (MPa)	Ucs dry (MPa)	کد سنگ
۴/۳۵	۵/۴۰	۷/۰۸	۸/۰۷	۶۵/۶۳	۷۶/۶۷	Gr1
۴/۵۴	۵/۰۵	۶/۷۹	۶/۸۲	۱۱۶/۳۸	۱۲۳/۵۵	Gr2
۳/۰۸	۴/۳۲	۷/۰۴	۷/۶۴	۷۵/۵۶	۸۳/۸۴	Gr3
۴/۵۰	۴/۷۷	۴/۳۴	۷/۶۱	۹۶/۰۷	۱۱۸/۷۶	Gr4
۵/۶۸	۴/۴۲	۷/۷۱	۷/۷۸	۶۷/۱۵	۷۵/۸۶	Gr5
۲/۶۸	۲/۹۵	۶/۵۹	۶/۶۶	۹۸/۰۶	۱۱۳/۷۹	Gr6
۵/۳۹	۵/۴۲	۸/۷۰	۸/۷۹	۹۲/۶۶	۱۰۴/۷۹	Gr7
۰/۱۸۱	۱/۱۵۷	۲/۶۲	۳/۵۱	۱۹/۵۲	۳۲/۵۴	Gr8
۵/۷۸	۵/۸۰	۹/۴۶	۱۰/۳۷	۹۳/۷۶	۱۰۲/۵۹	Grd1
۵/۶۷	۷/۱۹	۹/۴۲	۹/۴۸	۱۴۵/۶۱	۱۵۴/۴۳	Grd2
۶/۰۴	۴/۳۹	۷/۹۱	۸/۹۷	۱۰۹/۷۶	۱۱۰/۳۱	Grd3
۴/۴۵	۶/۲۶	۷/۵۰	۹/۹۹	۹۸/۸۷	۱۰۵/۰۸	Grd4
۲/۶۱	۴/۲۲	۵/۳۳	۵/۴۷	۳۳/۰۹	۴۵/۲۳	D1
۴/۲۴	۵/۹۸	۷/۰۰	۷/۰۲	۱۰۱/۴۹	۱۱۳/۶۲	D2
۴/۷۶	۴/۷۹	۸/۱۹	۸/۲۵	۱۸۸/۷۲	۲۰۵/۱۹	D3
۴/۷۵	۵/۷۳	۷/۳۸	۱۰/۵۱	۸۴/۵۶	۱۱۱/۳۰	D4
۲/۰۵	۲/۴۵	۳/۰۷	۳/۹۸	۵۴/۱۰	۶۴/۰۵	D5
۵/۹۳	۵/۹۸	۸/۴۰	۱۱/۱۷	۸۲/۰۸	۹۳/۸۹	D6
۵/۲۳	۵/۲۶	۶/۶۲	۸/۲۹	۱۷۱/۳۱	۱۷۷/۲۱	D7

میلی‌متر تفکیک می‌شوند (شکل ۴ ب). سپس با اعمال ۲۰ ضربه توسط وزنه ۱۴ کیلوگرمی از ارتفاع ۲۵ سانتی‌متری آزمایش انجام شد. در آخر درصد ذرات عبوری از الک مربعی ۱۱/۲ میلی‌متری به عنوان شکنندگی S20 در نظر گرفته شد (سو و همکاران، ۲۰۱۴). علاوه بر این محققین مختلفی تاکنون روابط تجربی متفاوتی را برای تعیین میزان شکنندگی سنگ‌ها ارائه کرده‌اند ولی نتایج حاصل از این روش‌ها تا حدود زیادی با هم اختلاف دارند ولی با این حال بیش‌تر محققین شکنندگی را تابعی از مقاومت کششی و مقاومت فشاری تکمحوری می‌دانند. در جدول ۵ به برخی از روابط ارائه شده توسط محققین مختلف پرداخته شد.

۳-۳- آزمایش شکنندگی

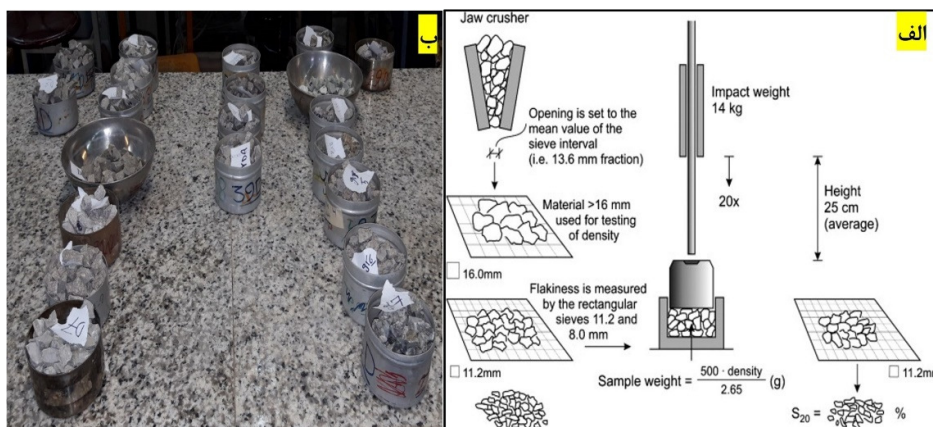
آزمایش شکنندگی اندازه‌گیری خوبی از مقاومت سنگ در برابر خرد شدن در اثر ضربات مکرر نشان می‌دهد. این آزمایش توسط مترن و هلمر در سوئد در سال ۱۹۴۳ ساخته شد (مترن و هلمر، ۱۹۴۳). چندین روش اصلاح شده از این آزمایش برای اهداف مختلف ساخته شده است. یک طرح کلی از آزمایش در شکل ۴ الف نشان داده شده است. وزن مورد نیاز برای انجام آزمایش شکنندگی ۵۰۰ گرم برای چگالی ۲/۶۵ می‌باشد. روش آزمایش بدین صورت می‌باشد که ابتدا خردسنگ‌های عبوری از الک ۱۶ میلی‌متر و باقیمانده بر روی الک مستطیلی ۱۱/۲

جدول ۵. روابط ارائه شده توسط محققین مختلف برای تعیین میزان شکنندگی سنگ‌ها

$B_1 = \frac{\sigma_c}{\sigma_t}$	هوکا و داس (۱۹۷۴)	۱
$B_2 = \frac{\sigma_c - \sigma_t}{\sigma_c + \sigma_t}$	هوکا و داس (۱۹۷۴)	۲
$B_3 = \frac{\sigma_c \times \sigma_t}{2}$	(التینداگ، ۲۰۰۲)	۳
$B_4 = (\sigma_c \times \sigma_t)^{.72}$	(بارالی و سویر، ۲۰۱۱)	۴
$B_5 = \frac{\sigma_c^{0.807}}{\sigma_t^{0.485}}$	(قادری نژاد و همکاران، ۱۳۹۷)	۵

جدول ۶. نتایج تعیین ضرایب شکنندگی در حالت خشک سنگ‌های (گرانیت، گرانودیبوریت و داسیت)

B5	B4	B3	B2	B1	S20 (%)	کد سنگ
۱۲/۰۵	۱۰۲/۳۲	۳۰۹/۴۴	۰/۸۱	۹/۵۰	۲۲/۳۴	Gr1
۱۹/۲۲	۱۲۷/۸۰	۴۲۱/۴۲	۰/۹۰	۱۸/۱۱	۲۱/۳۲	Gr2
۱۳/۳۰	۱۰۴/۸۵	۳۲۰/۱۴	۰/۸۳	۱۰/۹۸	۱۵/۴۵	Gr3
۱۷/۶۵	۱۳۴/۴۴	۴۵۷/۱۳	۰/۸۸	۱۵/۶۲	۱۸/۲۲	Gr4
۱۲/۱۶	۹۸/۸۶	۲۹۵/۰۰	۰/۸۱	۹/۷۵	۲۸/۹۱	Gr5
۱۸/۱۹	۱۱۸/۳۸	۳۸۷/۸۹	۰/۸۹	۱۷/۰۹	۱۴/۸۸	Gr6
۱۴/۸۸	۱۳۶/۲۱	۴۶۰/۴۰	۰/۸۵	۱۱/۹۳	۱۵/۲۲	Gr7
۹/۰۳	۳۰/۳۴	۵۷/۱۸	۰/۸۱	۹/۲۶	۴۶/۵۲	Gr8
۱۳/۵۰	۱۵۱/۱۵	۵۳۲/۰۴	۰/۸۲	۹/۸۹	۸/۷۲	Grd1
۱۹/۶۲	۱۹۰/۱۲	۷۳۱/۴۴	۰/۸۸	۱۶/۰	۹/۰۴	Grd2
۱۵/۳۶	۱۴۳/۴۰	۴۹۴/۴۹	۰/۸۵	۱۲/۳۰	۱۵/۳۵	Grd3
۱۴/۰۲	۱۴۹/۶۵	۵۲۴/۷۰	۰/۸۳	۱۰/۵۲	۸/۸۸	Grd4
۹/۵۱	۵۷/۸۷	۱۲۳/۷۰	۰/۷۸	۸/۲۷	۱۵/۴۵	D1
۱۷/۷۱	۱۲۲/۸۱	۳۹۸/۷۴	۰/۸۸	۱۶/۱۹	۹/۰۰	D2
۲۶/۳۹	۲۱۱/۱۸	۸۴۶/۵۸	۰/۹۲	۲۴/۸۷	۱۰/۶۰	D3
۱۴/۲۲	۱۶۱/۸۷	۵۸۵/۱۱	۰/۸۳	۱۰/۵۹	۱۲/۵۶	D4
۱۴/۶۹	۵۴/۰۰	۱۲۷/۳۷	۰/۸۸	۱۶/۱۰	۲۲/۴۶	D5
۱۲/۱۲	۱۴۹/۶۳	۵۲۴/۵۸	۰/۷۹	۸/۴۰	۱۱/۸۳	D6
۲۳/۳۹	۱۹۰/۶۶	۷۳۴/۵۳	۰/۹۱	۲۱/۳۸	۹/۰۶	D7



شکل ۴. الف) طرح کلی آزمایش تعیین شکنندگی S20 (دهل، ۲۰۰۳) و ب) نمونه‌های آماده شده برای تعیین S20

جدول ۷. نتایج تعیین ضرایب شکنندگی در حالت اشباع سنگ‌های (گرانیت، گرانودیوریت و داسیت)

B5	B4	B3	B2	B1	S20 (%)	کد سنگ
۱۱/۳۳	۸۳/۲۸	۲۳۲/۴۷	۰/۸۱	۹/۲۷	۲۳/۳۸	Gr1
۱۸/۳۵	۱۲۲/۰۵	۳۹۵/۳۲	۰/۸۹	۱۷/۱۳	۲۲/۱۹	Gr2
۱۲/۷۲	۹۱/۷۹	۲۶۶/۱۰	۰/۸۳	۱۰/۷۳	۱۵/۲۷	Gr3
۱۹/۵۴	۷۶/۹۵	۲۰۸/۳۱	۰/۹۱	۲۲/۱۵	۲۳/۴۳	Gr4
۱۱/۰۷	۹۰/۰۲	۲۵۹/۰۲	۰/۷۹	۸/۷۱	۳۰/۲۵	Gr5
۱۵/۹۰	۱۰۹/۷۳	۳۴۱/۰۰	۰/۸۷	۱۴/۲۴	۲۱/۳۳	Gr6
۱۳/۵۴	۱۲۳/۷۴	۴۰۳/۰۷	۰/۸۳	۱۰/۶۵	۱۵/۰۱	Gr7
۶/۸۹	۱۷/۰۱	۲۵/۵۷	۰/۷۶	۷/۴۵	۵۱/۰۹	Gr8
۱۳/۱۳	۱۳۲/۶۰	۴۴۳/۵۴	۰/۸۲	۹/۹۱	۱۱/۶۳	Grd1
۱۸/۷۶	۱۸۱/۴۷	۵۸۵/۸۰	۰/۸۸	۱۵/۴۶	۱۰/۱۴	Grd2
۱۶/۲۶	۱۳۰/۵۲	۴۳۳/۹۲	۰/۸۷	۱۳/۸۸	۱۵/۲۴	Grd3
۱۵/۳۳	۱۱۶/۵۴	۳۷۰/۷۵	۰/۸۶	۱۳/۱۸	۹/۶۱	Grd4
۷/۴۸	۴۱/۴۲	۸۸/۱۱	۰/۷۲	۶/۲۱	۱۶/۶۵	D1
۱۴/۹۶	۱۲۷/۱۴	۴۱۸/۳۹	۰/۸۵	۱۲/۳۱	۱۱/۶۹	D2
۲۳/۸۳	۲۰۹/۲۷	۸۳۵/۹۵	۰/۹۱	۲۱/۳۰	۱۰/۸۱	D3
۱۳/۶۲	۱۰۲/۹۵	۳۱۲/۱۰	۰/۸۴	۱۱/۴۶	۱۳/۶۲	D4
۱۴/۵۴	۳۹/۶۷	۸۲/۹۹	۰/۸۹	۱۷/۶۳	۳۱/۲۸	D5
۱۲/۴۹	۱۱۰/۶۰	۳۴۴/۷۷	۰/۸۱	۹/۷۷	۱۲/۵۵	D6
۲۵/۳۹	۱۵۸/۱۷	۵۶۶/۶۲	۰/۹۳	۲۵/۹۰	۱۲/۰۵	D7

درصد کانی‌های آلکالی فلدوپات بالاتر می‌باشد البته این همبستگی در حالت اشباع بالاتر از حالت خشک می‌باشد یعنی با افزایش مقدار آلکالی فلدوپات مقدار شکنندگی S20 افزایش می‌یابد که دلیل آن وجود کلیواژهای درشت و آسان این کانی است که منجر به هدایت و توسعه مسیر شکستگی‌ها در امتداد صفحات کلیواژی می‌گردد. بررسی رابطه نسبت کوارتز به بیوتیت و شکنندگی S20 در شکل ۷ نشان می‌دهد که وجود کانی بیوتیت در بعضی سنگ‌های مورد مطالعه تاثیر چندانی در شکنندگی سنگ‌های مورد

۵- بحث و تحلیل نتایج

در این بخش، تفسیری از رابطه شکنندگی S20 در حالت خشک و اشباع و خصوصیات مهندسی و پتروگرافی سنگ‌ها با استفاده از روش تحلیل آماری ارائه شده. برای این منظور از رگرسیون‌های خطی و غیرخطی استفاده شده است. نتایج نشان داد که شکنندگی S20 با کوارتز و پلازیوکلаз رابطه معکوس دارد و با آلکالی فلدوپات رابطه مستقیم دارد (رابطه ۶) (شکل ۵). همانطور که در شکل ۶ مشاهده می‌شود، ضریب همبستگی بین شکنندگی S20 با

$$S20_{(dry)} = -0.077 Ucs_{(dry)} - 3.830 Pt_{(dry)} + 43.326 \quad (9)$$

$$R^2 = 76.36$$

$$S20_{(sat)} = -0.076 Ucs_{(sat)} - 3.183 BTS_{(sat)} + 47.98 \quad (10)$$

$$R^2 = 76.4$$

که در آن $S20_{(dry)}$ شکنندگی در حالت خشک و اشباع مقاومت فشاری تکمحوری در حالت خشک و $Ucs_{(dry)}$ اشباع و $Pt_{(dry)}$ مقاومت بار نقطه‌ای در حالت خشک و $BTS_{(sat)}$ مقاومت کششی برزیلین در حالت اشباع می‌باشد. شکنندگی سنگ‌ها هم در آزمایشگاه و هم از نظر تجربی مشخص شد. نتایج آزمایشات آزمایشگاهی به دست آمده توسط دستگاه آزمایش ضربه بر روی نمونه‌های آمده شد. سنتگ برای آنالیز در نظر گرفته شد سپس نتایج به دست آمده از نظر آماری مورد تجزیه و تحلیل قرار گرفت و بهترین روابط بین شکنندگی آزمایشگاهی $S20$ و شاخص‌های شکنندگی در حالت خشک و اشباع در شکل (۱۱) و (۱۲) نشان داده شد. مطابق شکل (۱۱) و (۱۲) رابطه معکوس بین شکنندگی آزمایشگاهی و شاخص‌های شکنندگی وجود دارد، با افزایش مقدار شکنندگی آزمایشگاهی مقادیر شاخص‌های شکنندگی کاهش می‌یابد. این نتیجه نشان می‌دهد که معادلات پیشنهادی توسط محققین مختلف معتبر است و شکنندگی آن نزدیک به مقاومت فشاری تکمحوری و کششی برزیلی سنگ‌هاست زیرا در معادلات دیده شده است. همچنین مقادیر پایین‌تر شاخص‌های شکنندگی (BI) به این معنی است که مقاومت نمونه‌ها نیز پایین است. این مفهوم به طور کلی معنی ندارد زیرا خلاف طبقه‌بندی‌های ارائه شده در گذشته است. به عنوان مثال، طبقه‌بندی‌ها با توجه به شکنندگی، که توسط بروولند (۱۹۹۸) و دهل و همکاران (۲۰۱۲) ارائه شده نشان می‌دهد که مقادیر پایین‌تر شکنندگی بدان معنی است که سنگ برای حفاری بسیار سخت است. بنابراین، روش‌شن است که شکنندگی حاصل از آزمایشگاه ممکن است از نظر ارزیابی آن واقع بینانه‌تر باشد.

$$S20_{(dry)} = 0.118 B3 - 0.659 B4 + 49.479 \quad (11)$$

$$R^2 = 76.15$$

$$S20_{(sat)} = 4.406 B1 + 0.23 B3 - 6.127 B5 + 44.188 \quad (12)$$

$$R^2 = 76.9$$

که در آن $S20_{(dry)}$ شکنندگی در حالت خشک و اشباع $B1, B2, B3, B4$ و شاخص‌های شکنندگی می‌باشند.

مطالعه ندارد. همچنین وجود ریزدرزه‌ها و رگه‌های کربناتی موجود در بعضی نمونه‌ها بخصوص نمونه Gr1, Gr8 که دارای رگه‌های کربناتی هستند باعث کاهش مقاومت و افزایش شکنندگی سنگ می‌شود که این عامل در حالت اشباع بیشتر می‌باشد. در ادامه ارتباط شکنندگی $S20$ و خواص فیزیکی در دو حالت خشک و اشباع مورد بررسی قرار گرفت که برای ارتباط بین شکنندگی $S20$ و خواص فیزیکی با استفاده از نرم‌افزار SPSS رابطه کلی ۷ پیشنهاد شد و از بین خواص فیزیکی همان‌طور که در شکل ۸ الف مشاهده می‌شود درصد جذب آب در دو حالت خشک و اشباع نسبت به دیگر خواص فیزیکی دارای بیشترین همبستگی با شکنندگی $S20$ می‌باشد.

$$S20_{(dry)} = -0.816 Qz - 0.632 Pl + 58.66 \quad (6)$$

$$R^2 = 78.06$$

که در آن $S20_{(dry)}$ شکنندگی در حالت خشک و Qz کوارتز و Pl پلازیوکلаз و Alf آلکالی فلدسپات نمونه‌ها می‌باشند.

$$S20_{(dry)} = 88.92 Pd + 15.759 W - 222.425 \quad (7)$$

$$R^2 = 73.8$$

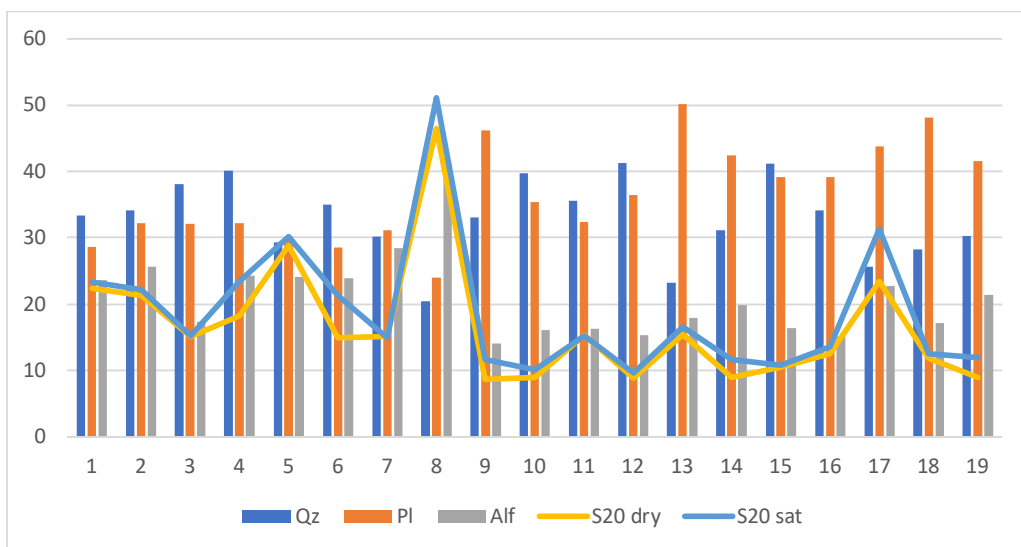
که در آن $S20_{(dry)}$ شکنندگی در حالت خشک و Pd چگالی خشک و W درصد جذب آب نمونه‌ها می‌باشند. بر اساس شکل ۸ ب مشاهده می‌شود که یک همبستگی قابل قبولی از نوع درجه دو بین شکنندگی $S20$ و سرعت موج P در حالت خشک وجود دارد که نشان می‌دهد که با افزایش سرعت موج شکنندگی کاهش می‌یابد و همچنین بهترین رابطه کلی (رابطه ۸) برای معرفی بین شکنندگی $S20$ و سرعت موج به صورت زیر می‌باشد.

$$S20_{(dry)} = -3.018 Vp_{(dry)} - 17.593 Vs_{(dry)} + 83.705 \quad (8)$$

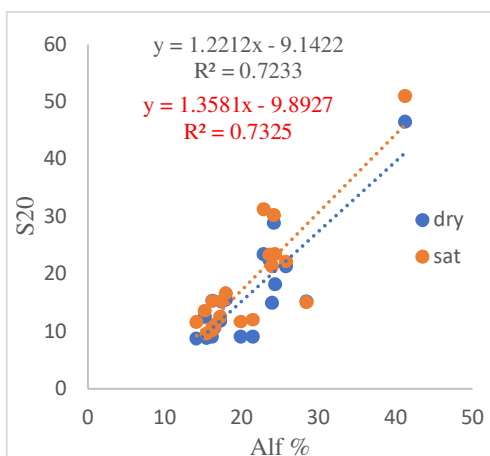
$$R^2 = 75.46$$

که در آن $S20_{(dry)}$ شکنندگی در حالت خشک و $Vp_{(dry)}$ سرعت موج فشاری در حالت خشک و $Vs_{(dry)}$ سرعت موج برشی در حالت خشک نمونه‌ها می‌باشند.

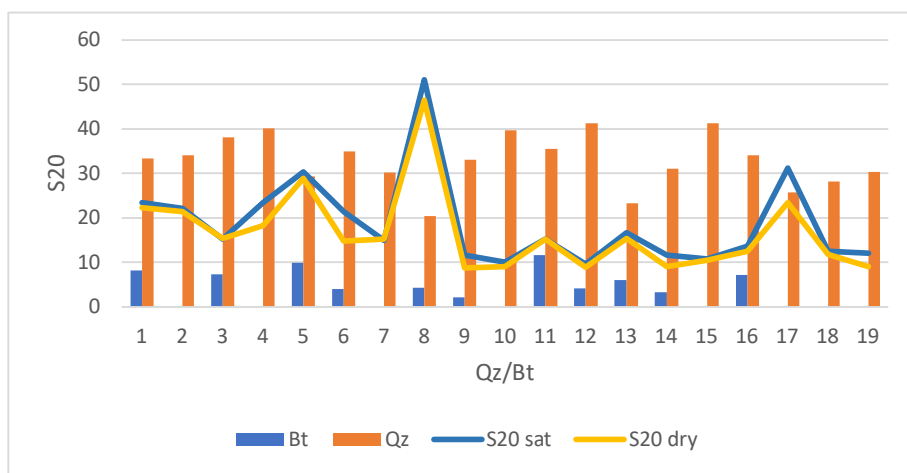
با بررسی خواص مکانیکی سنگ‌های مورد مطالعه و شکنندگی $S20$ معادله کلی (۸) برای هر حالت ارائه گردید که هر دو حالت نشان می‌دهند که با افزایش خصوصیات مکانیکی شکنندگی کاهش می‌یابد. همانطور که گفته شد و در شکل (۸ ج و د) نشان داده شده است، بین خواص مکانیکی و شکنندگی $S20$ ارتباط معناداری وجود دارد. با افزایش مقاومت بار نقطه‌ای و مقاومت کششی برزیلی سنگ‌ها، شکنندگی آن کاهش می‌یابد.



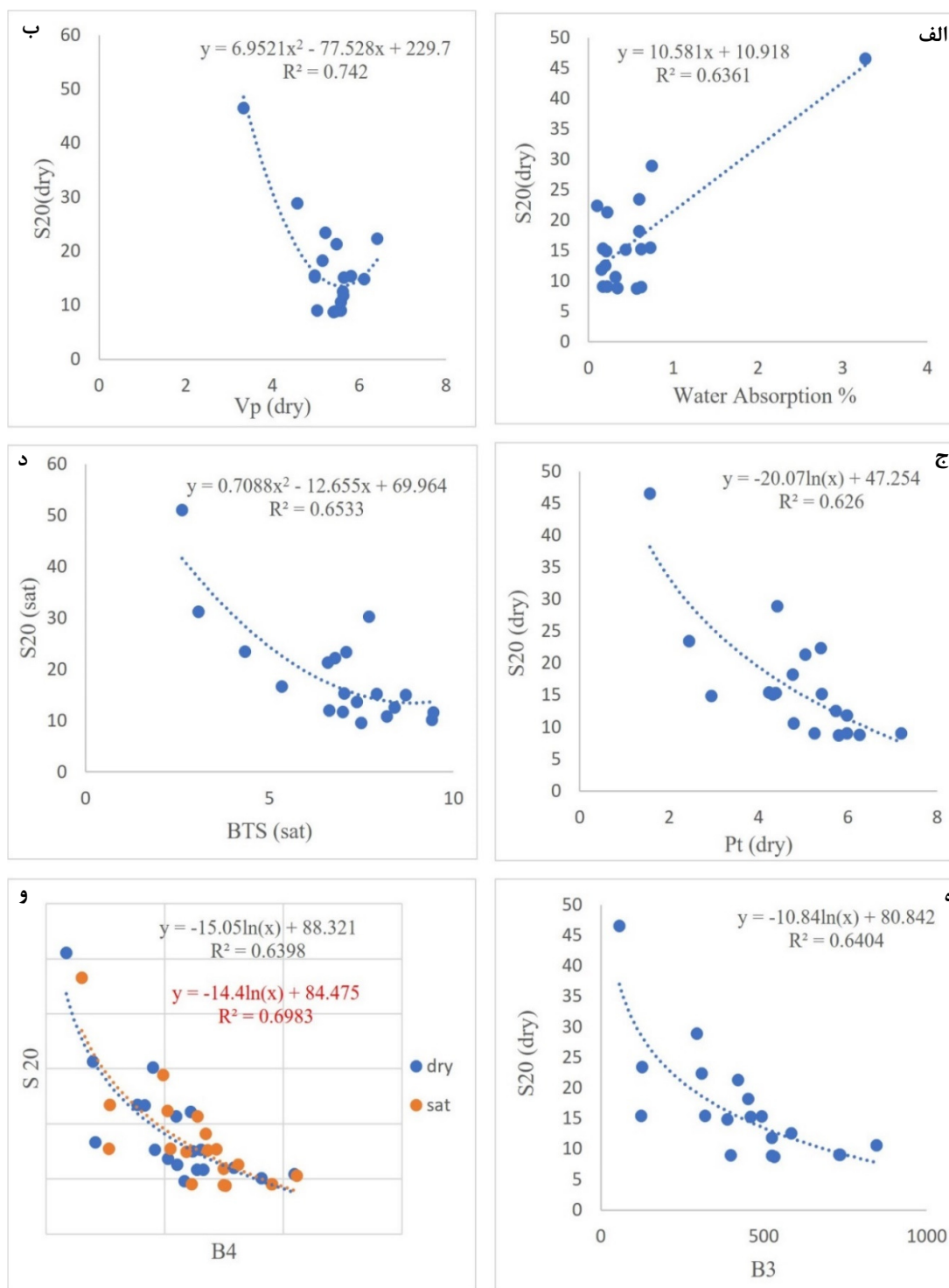
شکل ۵. نمودار بین درصد کانی‌های اصلی سنگ و شکنندگی S20 در حالت خشک و اشباع



شکل ۶. رابطه شکنندگی S20 با درصد کانی الکالی فلدسپات



شکل ۷. نمودار بین درصد کانی کوارتز به بیوتیت و شکنندگی S20 در حالت خشک و اشباع



شکل ۸. (الف) رابطه شکنندگی S20 خشک با درصد جذب آب؛ (ب) رابطه بین شکنندگی S20 خشک و سرعت موج P؛ (ج) رابطه بین شکنندگی S20 و مقاومت بار نقطه‌ای؛ (د) رابطه بین شکنندگی S20 و مقاومت کششی؛ (ه) رابطه بین شکنندگی S20 و شاخص شکنندگی B4 حالت اشباع در حالت خشک؛ (و) رابطه بین شکنندگی S20 و شاخص شکنندگی B3.

- فهیمی‌فر، ا.، سروش، ح (۱۳۸۰) آزمایش‌های مکانیک سنگ، مبانی نظری و استانداردها، جلد اول: آزمون‌های آزمایشگاهی، انتشارات شرکت سهامی آزمایشگاه فنی و مکانیک خاک.
- قادری‌نژاد، ص.، الله گانی دزکانی، س.، بجانی، ح. ر.، علی‌پنهانی، ب (۱۳۹۷) ارائه شاخصی جدید برای ارزیابی تردی سنگ.
- نشریه مهندسی منابع معدنی، شماره ۳، ص ۴۳-۵۵. کریم‌پور، م. ح.، سعادت، س.، ملک‌زاده شفارودی، آ (۱۳۸۱) شناسایی و معرفی کانی‌سازی نوع Cu-Au و Fe-Oxides- مگنتیت مرتبه با کربند ولکانیکی- پلوتونیکی خواه- کاشمر- بردسکن. بیست و یکمین گردهمایی علوم زمین. گل‌محمدی، ع.، حیدری، م.، کرابی، ب (۱۳۹۲) نقشه زمین‌شناسی ۱:۵۰۰۰ آنومالی غربی تا مرکزی معدن سنگ‌آهن سنگان خواه.
- Aligholi, S., Lashkaripour, Gh. R., Ghafoori, M (2016) Strength/Brittleness Classification of Igneous Intact Rocks Based on Basic Physical and Dynamic Properties. Rock Mechanics and Rock Engineering, 50(1): 45-65.
- Altindag, R (2002) The evaluation of rock brittleness concept on rotary blast hold drills. Journal of the Southern African Institute of Mining and Metallurgy, 102(1): 61-66.
- Bruland, A (1998) Project Report 13A-98 Drillability Test Methods, 18 p.
- Dahl, F (2003) DRI, BWI, CLI Standards. NTNU, Angleggsdrift, Trondheim.
- Dahl, F., Bruland, A., Jakobsen, P. D., Nilsen, B., Grov, E (2012) Classifications of properties influencing the drillability of rocks, based on the NTNU/SINTEF test method. Tunnelling and Underground Space Technology, 28: 150-158.
- Diamantis, K., Gartzos, E., Migiro, G (2009) Study on uniaxial compressive strength, point load strength index, dynamic and physical properties of serpentinites from central greece: test results and empirical relation, Engineering Geology, 108(3): 199-207.
- Engelder, T., Plumb, R (1984) Changes in situ ultrasonic properties of rock on strain relaxation, International Journal of Rock Mechanics Mining Sciences Geomechanics Abstracts, 21(2): 75- 82.
- Hajibabdolmajid, V., Kaiser, P., Martin, C (2003) Mobilised strength components in brittle failure of rock. Géotechnique, 53(3): 327-336.
- Hemmati, A., Ghafoori, M., Moomivand, H., Lashkaripour, Gh. R (2020) The effect of mineralogy and textural characteristics on the strength of crystalline igneous rocks using image-based textural quantification. Engineering Geology, 266: 10-16.
- Holt, R. M., Fjaer, E., Nes, O. M., Alassi, H. T (2011) A shaly look at brittleness. In: 45th US rock mechanics/geomechanics symposium.

نتیجه‌گیری

در این تحقیق ۱۹ نمونه از برخی سنگ‌های آذرین معدن سنگ‌آهن سنگان خواه برای ارزیابی رابطه شکنندگی S20 با خصوصیات پتروگرافی و ژئومکانیکی از جمله مقاومت فشاری تکمحوری، مقاومت کششی بزرگی، مقاومت بار نقطه‌ای، سرعت موج، چگالی، درصد جذب آب و تخلخل و شاخص‌های شکنندگی مورد بررسی قرار گرفت و بر اساس آزمایشات صورت گرفته نتایج به صورت زیر می‌باشد:

- نتایج نشان داد با افزایش آلکالی فلدوپات و کاهش کوارتز و پلاژیوکلاز مقدار شکنندگی نمونه‌ها افزایش همچنین وجود ریزدرزهای رگه‌های کربناتی موجود در بعضی نمونه‌ها بخصوص نمونه Gr1, Gr8 که دارای رگه‌های کربناتی هستند باعث کاهش مقاومت و افزایش شکنندگی سنگ می‌شود و قابلیت حفاری نمونه‌ها آسانتر شده است که این عامل در حالت اشباع بیشتر می‌باشد.
- برای ارتباط بین شکنندگی S20 و شاخص‌های شکنندگی بررسی شده معادله لگاریتمی بهترین عملکرد را نشان می‌دهد که یک رابطه معکوس بین شکنندگی S20 و شاخص‌های شکنندگی وجود دارد، با افزایش مقدار شکنندگی S20 مقدادر شاخص‌های شکنندگی کاهش می‌یابد و شکنندگی S20 با شاخص شکنندگی B4 و B3 دارای بیشترین ضریب تعیین می‌باشد. با این حال $R^2=69.83\%$ می‌باشد. بنابراین می‌توان گفت که شکنندگی اندازه‌گیری شده در آزمایشگاه می‌تواند در بیان شکنندگی سنگ‌ها واقع بینانه‌تر باشد.

تقدیر و تشکر

نویسنده‌گان این مقاله بر خود لازم می‌دانند تا از مدیریت محترم عملیات اکتشاف مجتمع سنگ‌آهن سنگان خواه به خاطر همکاری صمیمانه جهت تهیه نمونه‌های سنگی مورد آزمایش و سایر هماهنگی‌ها تشکر و قدردانی نمایند.

منابع

- صفری‌فرخد، س.، لشکری‌پور، غ. ر.، حافظی‌قدس، ن (۱۳۹۷) ارزیابی شاخص شکنندگی سنگ‌آهک و بررسی عوامل موثر بر آن در حالت خشک و اشباع. مجله انجمن زمین‌شناسی مهندسی ایران، دوره ۱۲، شماره ۳، ص ۲۱-۳۶.

- Ramsay, J. G (1967) *Folding and fracturing of rocks*. Mc Graw Hill Book Company, 568p.
- Rickman, R., Mullen, M. J., Petre, J. E., Grieser, W.V., Kundert, D (2008) A practical use of shale petrophysics for stimulation design optimization: all shale plays are not clones of the Barnett Shale. In: Proceedings of the SPE annual technical conference and exhibition, Society of Petroleum Engineers.
- Streckeisen, A. L (1974) Classification and nomenclature of plutonic rocks. *Geologische Rundschau*, 63(2): 773-786.
- Su, O., Sakiz, U., Köken, E (2014) Drillability Assessment of Rocks Based on Strength and Brittleness, International Pittsburgh Coal Conference.
- Tarasov, B., Potvin, Y (2013) Universal criteria for rock brittleness estimation under triaxial compression. *Int J Rock Mech Min Sci*, 59: 57–69.
- Thuro, K (1997) Drillability prediction: geological influences in hard rock drill and blast tunnelling, *Geologische Rundschau*, 86(2): 426-438.
- Yagiz, S (2009) Assessment of brittleness using rock strength and density with punch penetration test. *Tunnelling and Underground Space Technology*, 24: 66-74.
- Yang, Sh. Q., Yin, P. F., Ranjith, P. G (2020) Experimental Study on Mechanical Behavior and Brittleness Characteristics of Longmaxi Formation Shale in Changning, Sichuan Basin, China, *Rock Mechanics and Rock Engineering*. <https://doi.org/10.1007/s00603-020-02057-8>.
- Yarali, O., Soyer, E (2011) The effect of mechanical rock properties and brittleness on drillability. *Scientific Research and Essays*, 6: 1077-1088.
- Zhang, D., Ranjith, P. G., Perera M. S. A (2016) The brittleness indices used in rock mechanics and their application in shale hydraulic fracturing: a review. *J Pet Sci Eng*, 143: 158–170.
- American Rock Mechanics Association: 11–366.
- Howell, J. V (1960) *Glossary of geology and related sciences*. American Geological Institute, Washington, DC.
- Hucka, V., Das, B (1974) Brittleness determination of rocks by different methods. *Int J Rock Mech Min Sci Geomech Abstr*, 17(10): 389–392.
- Jin, X., Shah, S. N., Roegiers, J. C., Zhang, B (2014a) Fracability evaluation in shale reservoirs—an integrated petrophysics and geomechanics approach. In: Proceedings of the SPE Hydraulic Fracturing Technology Conference, Society of Petroleum Engineers.
- Jin, X., Shah, S. N., Truax, J. A., Roegiers, J. C (2014b) A Practical petrophysical approach for brittleness prediction from porosity and sonic logging in shale reservoirs. In: SPE annual technical conference and exhibition, Society of Petroleum Engineers.
- Karimpour, M. H (2006) Cu-Au mineralization accompany with magnetite-spicularite (IOCG) and examples in Iran. 9th Iranian Geology Society Conference, University of Tarbiat Moallem, Tehran, Iran.
- Matern, N. V., Hjelmer, A (1943) Forsok med pagrus (Tests with Chippings), Meddelande nr. 65, Statens väginstutitut, Stockholm, p 65. English summary, 56-60.
- Meng, F., Zhou, H., Zhang, C., Xu, R., Lu, J (2015) Evaluation methodology of brittleness of rock based on post-peak stress-strain curves. *Rock Mechanics and Rock Engineering*, 48: 1787-1805.
- Mohamed, M. E. S., Saeed, M. A., Radwan, N. A. A (2019) Prediction of unconfined compressive strength of rocks by point load strength index. *Journal Of Al-Azhar University Engineering Sector*, 14(51): 453-459.
- Nygård, R., Gutierrez, M., Bratli, R. K., Høeg, K (2006) Brittle–ductile transition, shear failure and leakage in shales and mudrocks. *Marine and Petroleum Geology*, 23(2): 201–212.

Evaluation of the S20 brittleness index, Engineering and petrographic properties of some igneous rocks of Sangan iron ore mine in Khaf

A. Ghasempour^{1*}, G. R. Lashkaripour² and M. Ghafouri³

1- M. Sc., student. Dept., of Geology, Ferdowsi University of Mashhad, Mashhad
2, 3- Prof., Dept., of Geology, Faculty of Science, Ferdowsi University of Mashhad, Mashhad

* ghasempouramirarsalan7522@gmail.com

Received: 2020/6/3 Accepted: 2021/1/2

Abstract

Brittleness is one of the most important mechanical properties of rock which has a widespread application in underground constructs drilling like tunnel drilling. Although many method have been introduced for estimating brittleness, no standard has been mentioned for measuring brittleness. In this research, experiments for determining brittleness of S20 along with petrographic (main mineral percentage), physical (dry density, saturation density, porosity and water absorption percentage), mechanical (uniaxial compressive strength, Brazilian tensile strength , point load test) and dynamic properties (pressure and shear wave velocity) in the two states of dry and saturated were performed on 19 test samples of igneous rocks (granite, granodiorite and dacite) selected from Sangan iron ore mine in khaf. Statistical analysis of the results shows that brittleness of samples increases with increasing alkali feldspar and quartz and also reducing plagioclase. Also existence of micro particles and carbonate veins decreases strength and increases the brittleness of rock and facilitate excavatability of samples which is more prominent in saturated state. There is an inverse relationship between S20 brittleness and the brittleness indices, and as the value of S20 brittleness increases, the value of brittleness indices decrease. The relationship between S20 brittleness and brittleness indices B3 and B4 has the highest coefficient of determination. As a result, it can be said that the brittleness measured in the laboratory can be more realistic in expressing the brittleness of rocks.

Keywords: S20 brittleness, Alkali feldspar, Igneous rock, Sangan Khaf